# РАЗДЕЛ І. ТРУДЫ УЧЕНЫХ АЛТАЙСКОГО ГОСУДАРСТВЕННОГО ТЕХНИЧЕСКОГО УНИВЕРСИТЕТА

УДК 533.9.082.5

# МЕТОДЫ ОПТИЧЕСКОЙ ДИАГНОСТИКИ ЧАСТИЦ В ВЫСОКОТЕМПЕРАТУРНЫХ ПОТОКАХ

П.Ю. Гуляев, А.В. Долматов, В.А. Попов, Г.Н. Леонов

Статья посвящена разработке обобщенной математической модели оптического прибора для диагностики плазменных потоков. Задача измерения параметров дисперсно-фазной среды приведена к задачам вычислительной диагностики в томографии и дисперсного анализа мутных сред. В модели учтены особенности сканирования частиц дисперсно-фазной среды датчиками в режиме накопления заряда.

Ключевые слова: моделирование, оптический прибор, диагностика, плазменный поток

#### Введение

В области исследования теплофизических параметров дисперсно-фазных плазменных потоков (ДФПП) методы оптической диагностики призваны решать следующие задачи контроля распределения частиц:

по температурам;

по скорости;

по размерам.

В основе диагностики лежат интегральные измерительные соотношения, которые соответствуют трем типам преобразований светового потока в оптических схемах (ОС) измерений [1, 2]:

проекционные ОС – интегральное преобразование Радона;

дифракционно-интерференционные – интегральное преобразование Фурье;

спектральные – интегральное уравнение Фредгольма.

В общем виде работа виртуального прибора оптической диагностики плазменного потока выглядит следующим образом (рис.1). На входе в прибор излучение ДФПП проходит через ОС и попадает на датчики измерительной системы, которые обеспечивают интегрирование светового потока, работая в режиме накопления заряда. Сигнал с датчиков подается в блок обработки, где редуцируется распределение частиц. Таким образом, входному световому потоку излучения от дисперснофазной среды (ДФС) виртуальный прибор ставит в соответствие распределение частиц

в этой среде по параметру, зависящему от вида ОС [3, 4].

**Целью** настоящей статьи является разработка обобщенной математической модели работы виртуального прибора оптической диагностики плазменных потоков интегральными методами контроля на примере импульсного слабо запыленного потока частиц, поочередно и в случайный момент времени пересекающих измерительный объем. Такая модель так же справедлива для контроля неподвижной ДФС и оптической измерительной системы (ИС) с известным законом сканирования измерительного объема, заполненного случайным образом частицами, размер которых не меньше величины оптической разрешающей способности прибора.

В случае ДФПП сканирование частиц обеспечивается движением потока относительно ИС. Каждой частице соответствует свое значение контролируемого физического параметра  $z_j$ , связанного с интенсивностью оптического излучения  $\zeta_i(x)$  законом физической оптики  $A(z_j,x)$ , например дифракционного рассеяния, спектром теплового излучения, лучевой проекции и т.п. При этом х регистрируемый параметр оптического излучения (угол дифракционного рассеяния, длина волны, координата проекции и т.п.). Фотоприемник и тракт ИС вносят искажения в оптический сигнал, которые описываются соот-

ветствующими аппаратными функциями k1(x) и k2(x) (спектральная чувствительность, дифракционный предел разрешающей способности, аберрации и т.п.). Тогда, преобразование величины контролируемого параметра  $z_j$  в выходной электрический сигнал  $g_i(x) = A(z_i,x) \, k_I(x) \, k_2(x)$ , может быть описано с помощью обобщенной аппаратной функции всего прибора в целом K(z,x), а входной оптический сигнал, зарегистрированный за время полного сканирования всех частиц, в интегральном виде:

$$\zeta(x) = \sum \zeta_i = \int A(z,x) f(z) dz$$

где f(z) = di/dz – искомая функция распределения контролируемого параметра ДФС.

Решение задачи состоит в определении функции f(z) по выходному сигналу ИС, когда оптический параметр x взаимно однозначно

определяется координатой точки сканируемого изображения, например, когда каждому элементу изображения соответствует своя длина волны, угловой или линейный параллакс световых лучей рассеянных или излучаемых частицами ДФС. В простейшем случае проекционной ОС параметр х может быть просто координатой изображения частицы. Прямую задачу измерения можно записать в интегральном виде:

$$g(x) = k_1(x)k_2(x)\zeta(x) =$$

$$= \int [k_1(x)k_2(x)A(z,x)] f(z)dz =$$

$$= \int K(z,x)f(z)dz$$

которая в дискретном виде соответствует операторному уравнению g=Af — для идеального прибора, и g=Kf — для реального прибора.

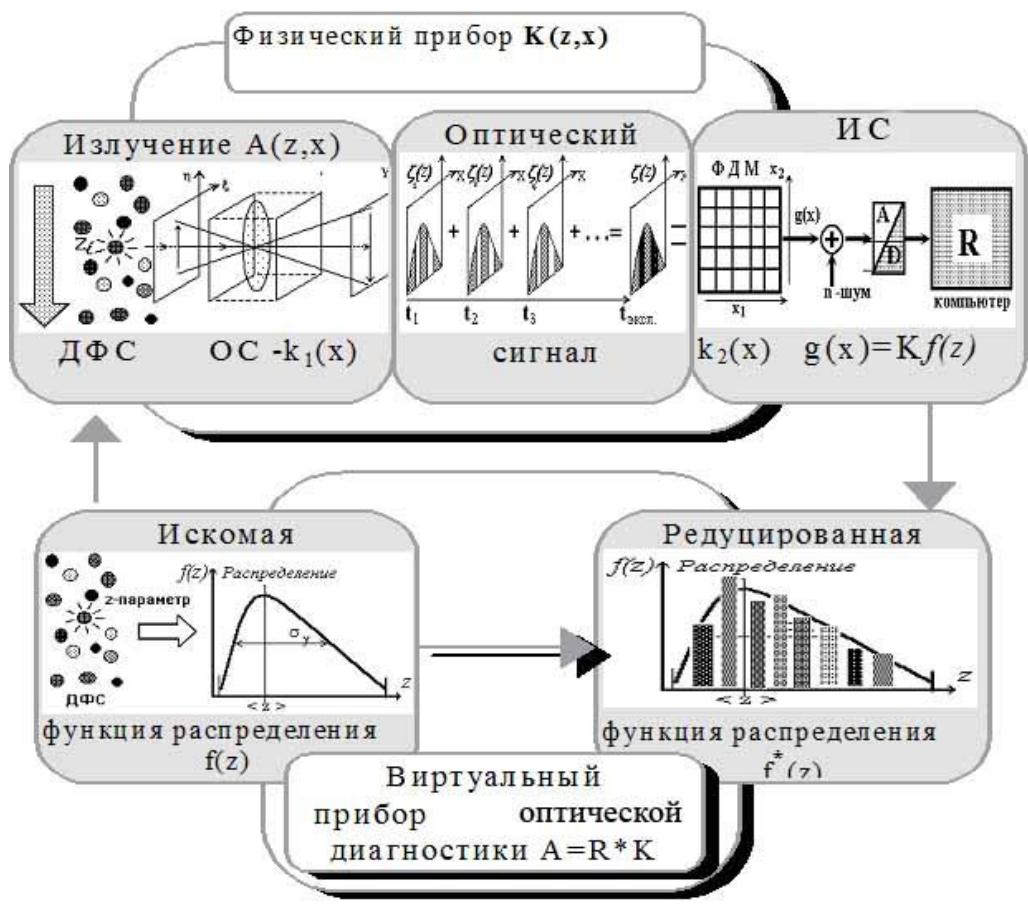


Рисунок 1 — Обобщенная функциональная схема виртуального прибора оптической диагностики плазменных потоков

## РАЗДЕЛ І. ТРУДЫ УЧЕНЫХ АЛТАЙСКОГО ГОСУДАРСТВЕННОГО ТЕХНИЧЕСКОГО УНИВЕРСИТЕТА

Рассмотрим задачу определения величины f прибором A по результатам косвенных измерений g. Конкретный вид оператора A определяется физическим методом измерения и аппаратной функцией прибора k(r,...), но предполагается выполнение основного интегрального измерительного уравнения диагностики:

$$g = Af$$
;  $g_i = \int_a^b k_i(r)f(r)dr$ , (1)

На практике истинное значение g никогда не известно, так как оно всегда содержит некоторую экспериментальную ошибку  $^{n}$ . Поэтому измеренные данные  $g_{d}$  можно представить в виде

$$g_d = g + n, \tag{2}$$

где  $g_d$  - известная матрица размера  $M \times 1$ , а n - матрица экспериментальных ошибок размера  $M \times 1$ .

Решение задачи диагностики сводится к процедуре подбора искомой функции f и минимизации следующей положительной величины:

$$U = (g_d - Af)^+ (g_d - Af) +$$

$$+ \gamma_1 (f - f_0)^+ (f - f_0) + \gamma_2 (Bf)^+ (Bf),$$
(3)

где индекс «+» обозначает комплексное сопряжение и транспонирование,  $\gamma_1$  и  $\gamma_2$  – положительные константы,  $f_{\boldsymbol{\theta}}$  – "пробная" функция, а  $_{R}$  - матрица размера МimesМ, описывающее некоторое сглаживание f. Первый член в (3) является мерой точности f, даваемой формулой (1). Заметим, что если экспериментальных ошибок  $g_d = g, \gamma_1 = \gamma_2 = 0, U = 0$  – минимальное значение U и решением является  $f = A^{-l}g$ . Второй член в (3) указывает на отклонение f от пробной функции  $f_{\scriptscriptstyle heta}$ , а третий член характеризует отклонение f от идеального сглаживания, соответствующего (Bf) = 0. Обычно (Bf) описывает первую или вторую производную.

Рассмотрим случай  $\gamma_2=0$  . Дифференцируя U по f , находим

$$f = (A^{+}A + \gamma_{I}I)^{-1}(A^{+}g_{d} + \gamma_{I}f_{0}),$$
 (4)

где  $_{I}$  – квадратная матрица размера N×N.

Выбор  $\gamma_I$  должен быть сделан так, чтобы обеспечить разумный компромисс между первым и вторым членами в (3). Если  $\gamma_I$  мало, то преобладает первый член, и решение является сильно осциллирующим. Если  $\gamma_I$  велико, то преобладает второй член, и решение получается сильно сглаженным

В случае  $\gamma_{_I}=0$  решение имеет вид

$$f = (A^+A + \gamma_2 B^+B)^{-1} A^+ g_A$$
 (5)

Матрица B может быть взята в виде

$$B = \begin{pmatrix} -2 & 1 & 0 & \dots & \dots & 0 \\ 1 & -2 & 1 & 0 & & & \\ 0 & 1 & -2 & 1 & & & \\ & & & & & \\ & & & & & & \\ & & & & & & \\ & & & & & & \\ & & & & & \\ & & & & & & \\ & & & & & \\ & & & & & \\ & & & & & \\ & & & & & \\ & & & & & \\ & & & & & \\ & & & & & \\ & & & & & \\ & & & & & \\ & & & & & \\ & & & & & \\ & & & & \\ & & & & & \\ & & & \\ & & & & \\ & & & & \\ & & & \\ & & & & \\ & & & \\ & & & & \\ & & & \\ & & & \\ & & & & \\ & & & \\ & & & \\ & & & \\ & & & \\ & & & \\ & & & \\ & & & & \\ & &$$

B представляет собой дискретный аналог второй производной f .

#### Заключение

Таким образом, основная задача измерения параметров ДФС приведена к постановке, аналогичной задачам вычислительной диагностики в томографии и дисперсионном анализе мутных сред по характеристикам рассеянного излучения. Данная постановка сделана в самых общих допущениях относительно свойств ОС измерения и контролируемых параметров. Она охватывает широкий класс физических приборов контроля, благодаря учтенным в модели особенностям сканирования частиц ДФС датчиками ИС, использующими режим накопления заряда. При этом виртуальный прибор как обычный физический прибор можно характеризовать тремя паспортными данными:

$$\begin{cases} H(\varepsilon, \delta) = E \|n\|^{2}, \\ G(\varepsilon, \delta) = \|K - K_{0}\|^{2} \\ q(\varepsilon, \delta) \leq \delta \end{cases}$$

где  $H(\varepsilon,\delta)$  – уровень аппаратных шумов, приведенных ко входу,  $G(\varepsilon,\delta)$  – невязка,  $q(\varepsilon,\delta)$  – качество прибора  $K_{\varrho}$  [5].

## ВОССОЗДАНИЕ КОНФИГУРАЦИЙ ЭЛЕКТРОННЫХ ОБОЛОЧЕК АТОМОВ НА ОСНОВЕ ЭМПИРИЧЕСКИХ ДАННЫХ

#### СПИСОК ЛИТЕРАТУРЫ

- Математические задачи компьютерной томографии / А.Н. Тихонов, В.Я. Арсенин, А.А. Тимонов. – М.: Наука, 1988. – 158 с.
- 2. Залманзон, Л.А. Преобразования Фурье, Уолша, Хаара и их применение в управлении, связи и других областях. — М.: Наука, 1989. — 496 с.
- 3. Гуляев, П.Ю. Виновский критерий выбора параметров редукции температурного распределения частиц по их суммарному тепловому спектру / П.Ю. Гуляев, В.И. Иордан, И.П. Гуляев, А.А. Соловьев // Изв. вузов. Физика.-2008.— Т. 51, № 9-3. С. 69 76.
- Гуляев, П.Ю. Оптико-электронная система диагностики двухфазных потоков динамическим методом счета частиц / П.Ю. Гуляев, В.И. Иордан, И.П. Гуляев, А.А. Соловьев // Изв. вузов. Физика. – 2008. – Т. 51, № 9-3. – С. 79 – 87.

- Гуляев, П.Ю. Моделирование технологических процессов плазменного напыления покрытий наноразмерной толщины/ П.Ю. Гуляев, И.П. Гуляев // Системы управления и информационные технологии.- 2009, № 1.1 (35). – С.144-148.
- Гуляев, П.Ю. Физические принципы диагностики в технологиях плазменного напыления / П.Ю. Гуляев, А.В. Долматов // Известия Самарского научного центра Российской академии наук.- 2009.- т. 11, №5(2).- С. 382-385

Д.т.н., профессор **Гуляев П.Ю.,** к.т.н., доцент **Долматов А.В.,** тел. 8-963-492-48-46, -<u>qulyaev1954@mail.ru</u>, Югорский государственный университет; д.ф.-м.н., профессор **Попов В.А.,** д.ф.-м.н., профессор **Леонов Г.Н.**, тел. (3852) 29-08-62 Алтайский государственный технический университет

УДК 539.183.5

### ВОССОЗДАНИЕ КОНФИГУРАЦИЙ ЭЛЕКТРОННЫХ ОБОЛОЧЕК АТОМОВ НА ОСНОВЕ ЭМПИРИЧЕСКИХ ДАННЫХ

#### М.А. Баранов

Представление радиального распределения электронной плотности атома вполне определённой асимптотической функцией с максимумом допускает получение точного аналитического вида потенциала межатомного взаимодействия. Данное обстоятельство оказывается принципиальным как в определении параметров электронных распределений, так и в последующем прогнозировании свойств веществ сложного химического состава.

Ключевые слова: атом, электронная оболочка, потенциал, взаимодействие, химический состав

#### Введение

Бесконечное разнообразие свойств веществ образованных атомами сравнительно небольшого числа элементов обусловлено, в конечном счёте, законами межатомного взаимодействия, которые, в свою очередь. определяются конфигурациями электронных оболочек атомов. Знание законов взаимодействия атомов произвольного сорта в различных веществах позволяет существенно сократить поиск и создание веществ с заданным набором физико-механических свойств. Наиболее часто применяемый для этого полуэмпирический подход подразумевает задание потенциальной функции из соображений «здравого смысла» и определение её параметров исходя из экспериментальных данных о свойствах тех или иных веществ. Фактические возможности полуэмпирического подхода ограничены хотя бы потому, что построенные таким образом потенциалы оказываются приспособленными для описания взаимодействий атомов только в данном, уже исследованном веществе. При этом начальная цель -

прогнозирования и программирования свойств ранее неизвестных веществ не достигается. Количественное же описание «из первых принципов» может быть проведёно лишь для «правильных» структур — изолированных атомов, идеальных кристаллов, простейших молекул.

В этой связи имеет смысл аппроксимировать не потенциальные функции, а функции распределения электронной плотности сопутствующей каждому атому. При этом не обойтись без упрощающих предположений, которые бы, с одной стороны, позволили произвести необходимые расчёты, а с другой – были бы способны обеспечить достаточную адекватность.

#### Описание модели

Из классических знаний об атоме нам понадобится лишь то, что он представляет собой ядро, окружённое электронными оболочками. Распределение электронов в атоме представим состоящим из двух сферически симметричных недеформируемых оболочек – внутренней и внешней. В силу их сфериче-

M.A. БАРАНОВ